Estimating Soil Erosion Susceptibility Levels in the Hami Qishan Basin, Northeastern Iraq Using GIS and Remote Sensing (RS)

Zainb Ibraheem Hussain Zainbebrahim@uomustansiriyah.edu.iq

Department of Geography - College of Education - Al-Mustansiriya University

Copyright (c) 2025 Zainb Ibraheem Hussain

DOI: https://doi.org/10.31973/05xd2y59



This work is licensed under a Creative Commons Attribution 4.0

International License.

Abstract:

The Hami Qishan Basin is considered one of the main basins of the Lezer Zab River, located in the northeastern part of Iraq within the high folded, imbricated, and suture zones. Erosion susceptibility levels in the Hami Qishan Basin were assessed using modeling of a set of indicators, including geological, topographic, structural, climatic, hydrological, land cover and land use, soil, and fieldwork confirmed the most effective factors in erosion. The study aims to prepare a spatial map that illustrates the levels of soil susceptibility to water erosion by applying the multi-layer spatial analysis methodology using geographic information systems and remote sensing technology. The modeling results revealed that there are four levels of water erosion types in the basin, varying in intensity and distribution, including low erosion type (0.01%), medium erosion type (33.31%), high erosion type (65.63%), and very high erosion type (1.05%) of the research area. This variation in erosion types results from the difference in lithology, topography, drainage network density, rock and soil type, and land uses, including vegetation cover density

Keywords: Land use, faults. Hemi Qeshan, water erosion, Topographic Position

تقدير مستويات قابلية التربة للتعرية المائية في حوض همي قيشان، شمال شرق العراق باستخدام GIS والاستشعار عن بعد RS

أ.م.د. زينب ابراهيم حسين دكتوراه جغرافية طبيعية تخصص جيومورفولوجي تطبيقي تدريسية في قسم الجغرافية كلية التربية – الجامعة المستنصرية

(مُلَخَّصُ البَحث)

يعد حوض همي قيشان أحد الأحواض الرئيسة لنهر الزاب الصغير الذي يقع في الجزء الشمال الشرقي من العراق ضمن نطاق الطيات العالية وغير المستقرة. تم اجراء تقويم مستويات قابلية التعرية في حوض همي قيشان باعتماد نمذجة مجموعة مؤشرات منها: الجيولوجية، والتضاريسية، والتركيبية، والمناخية، والهيدرولوجية، واستعمالات الأرض، وعامل التبيه والدراسة الميدانية التي أكدت أكثر العوامل المؤثرة في حدوث التعرية. الهدف من الدراسة هو إعداد خريطة مكانية توضح مستويات قابلية التربة للتعرية المائية عبر تطبيق منهجية التحليل المكاني متعدد الطبقات باستعمال تقنية نظم المعلومات الجغرافية والاستشعار عن بعد، كشفت نتائج النمذجة عن تصنيف التعرية أن هنالك أربعة مستويات لأصناف التعرية المائية في الحوض متفاوتة من حيث: الشدة ،والتوزيع، منها: صنف تعرية ملوطئة بلغت نسبتها (٢٠٠٠%)، وصنف تعرية متوسطة بلغت نسبتها (٣٠٠٠٣)، وتعرية عالية جدأ بلغت نسبتها (١٠٠٠%)، وتعرية عالية جدأ بلغت نسبتها التعرية والتضاريسية وكثافة شبكة التصريف ونوع الصخور والتربة واستعمالات الأرض من ضمنها كثافة الغطاء النباتي.

كلمات مفتاحية: همي قيشان ، التعرية المائية، الموضع الطبوغرافي ، استخدامات الأرض، الفوالق.

• مشكلة البحث: يمكن صياغة مشكلة البحث عبر التساؤلات الآتية:

١.ما العوامل المسؤولة عن حدوث تعربة مائية في حوض همي قيشان؟

٢.هل يوجد تباين مكاني واضح في مستويات التعرية المائية ضمن أجزاء الحوض
 همى قيشان المختلفة؟

فرضية البحث:

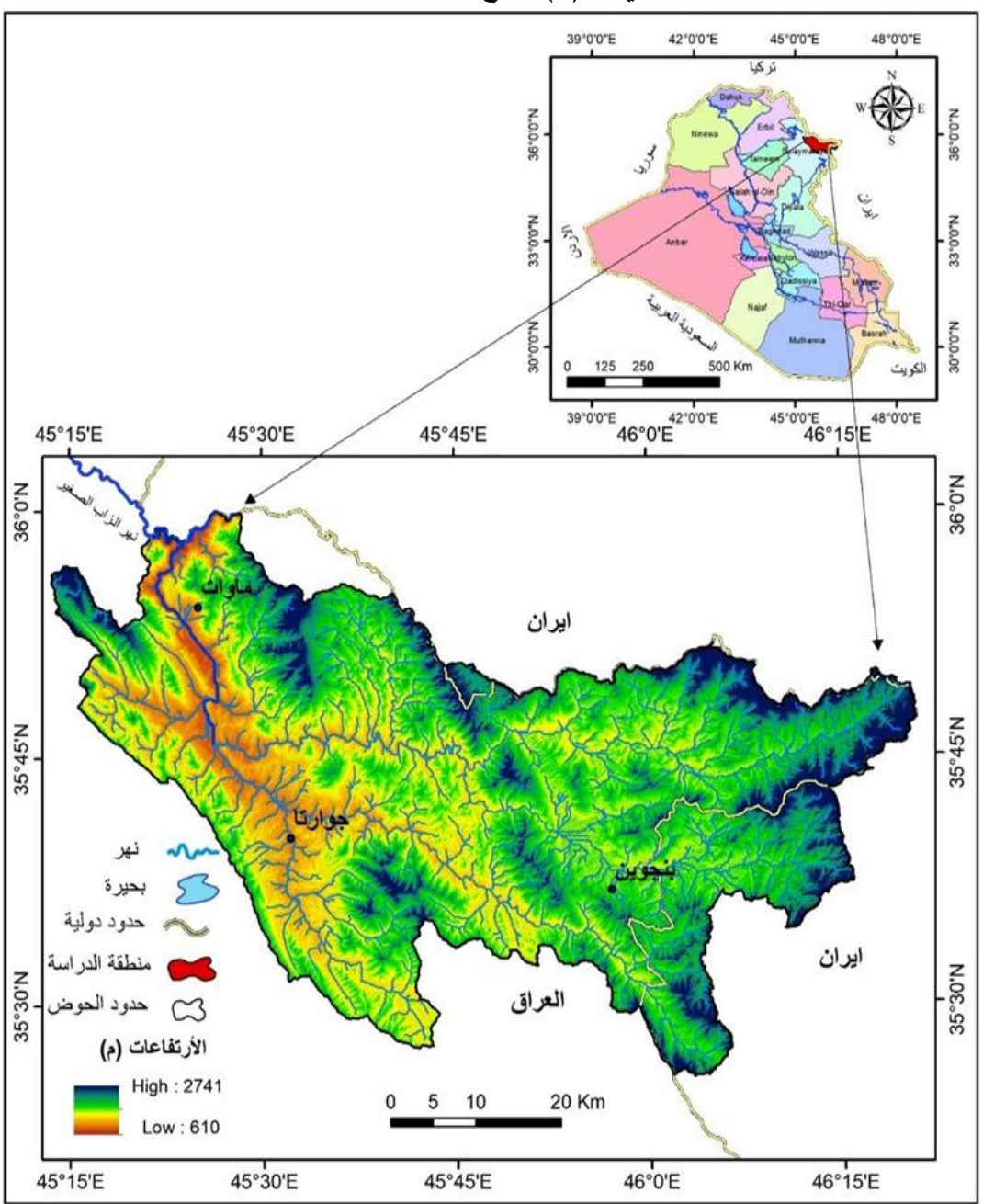
ا. تشترك عوامل طبيعية عدة في تسريع عملية التعرية المائية في حوض همي قيشان منها: التركيبية، والتضاريسية، والهيدرولوجية ،ونوع الصخور، والتربة، واستعمالات الأرض.
 ٢. يتباين التوزيع المكاني لمستويات التعرية المائية في حوض همي قيشان تبعا لأثر العوامل الطبيعية واستعمالات الأرض المختلفة وكثافة الغطاء النباتي.

- هدف البحث:

يهدف البحث إلى إعداد خريطة مكانية توضح قابلية التربة للتعرية المائية في حوض همي قيشان، وتحديد التباين المكاني لشدة التعرية باعتماد مجموعة المؤشرات الجيومورفولوجية والبيئية باستعمال تقنيات نظم المعلومات الجغرافية والاستشعار عن بعد.

حدود منطقة البحث:

خريطة (١) موقع منطقة البحث



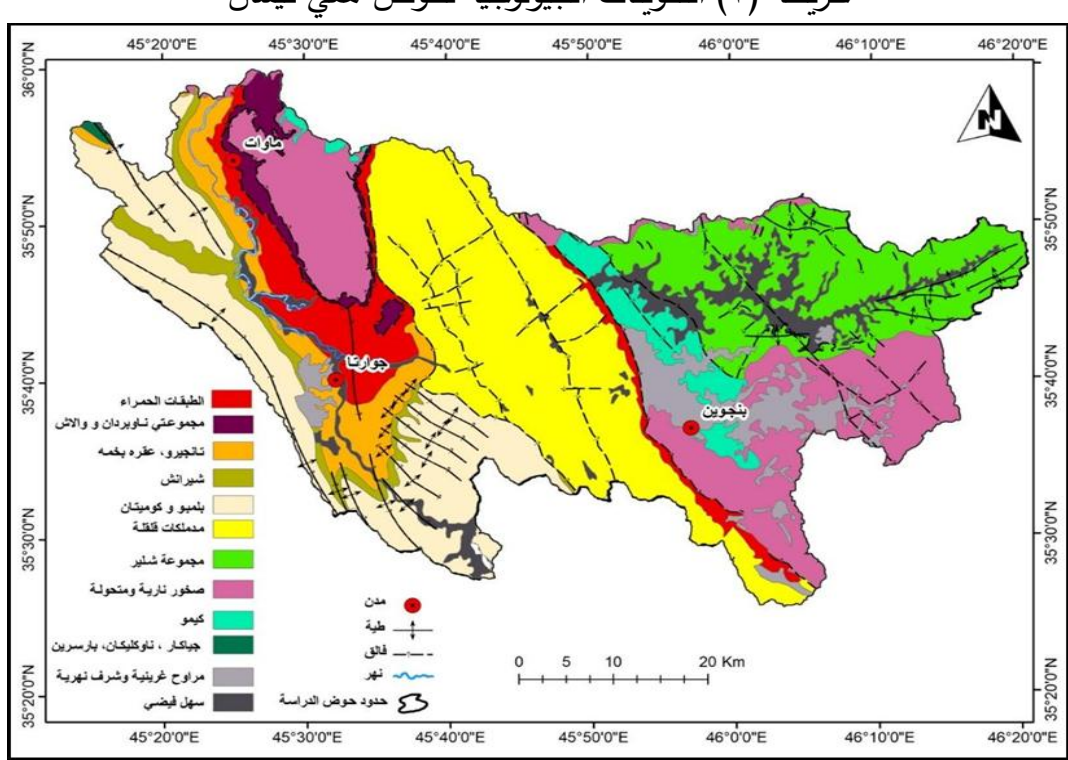
المصدر: بالاعتماد على الخريطة الإدارية وبيانات القمر ASTERGDEM بدقة ٣٠ متر (Painted) مرئية ظلال ملونة. لسنة ٢٠١٣ واستعمال برنامج ١٠.٨ArcGIS .

مؤشرات التعرية المائية:

اولاً) البنية جيولوجية:

تتوزع التكوينات الجيولوجية في منطقة البحث والتي تتراوح أعمارها بين العصور الكريتاسية والهولوسينة ، كما موضح في الخريطة (٢) ، وهي على النحو الآتي: الطبقات الحمراء (الباليوسين – المايوسين): تتميز بتتابعات من الصخور الرملية الحمراء والصخور الطينية غير المتماسكة، مع وجود طبقات من الحجر الجيري الكتلى. وبصل

سمك هذه التكوينات يصل سمكها إلى (٢٠٠م)، ويلاحظ احياناً وجود حفريات مثل الفورامينيفرا، في حين أن وجود الروديست يشير إلى تداخلات صخرية أقدم تعود للعصر الطباشيري(Jassim & Jeremn, 2006, P200) ، يظهر التكوين في قضائي جوارتا وماوات، بمساحة بلغت (٣٠٠٠٠ كم²) من مساحة منطقة البحث. وهذه الطبقات تتباين في صلادتها ومقاومتها للتعرية المائية من شديدة جداً إلى هشة (الصخور الطينية). يلاحظ الصورة (١)



خريطة (٢) التكوينات الجيولوجية لحوض همي قيشان

1-MINISTRY OF INDUSTRY AND MINERALS IRAQ GEOLOGCAL SURVEY ,GEOLOGICAL MAP OF SULAIMANIYA QUADRANGLE ,SHEET NI-38-3,Compiled by ; Varoujan K. Sissakian ,Saffa F. Fouad ,Scale 1:250000, 2nd edition ,2014.

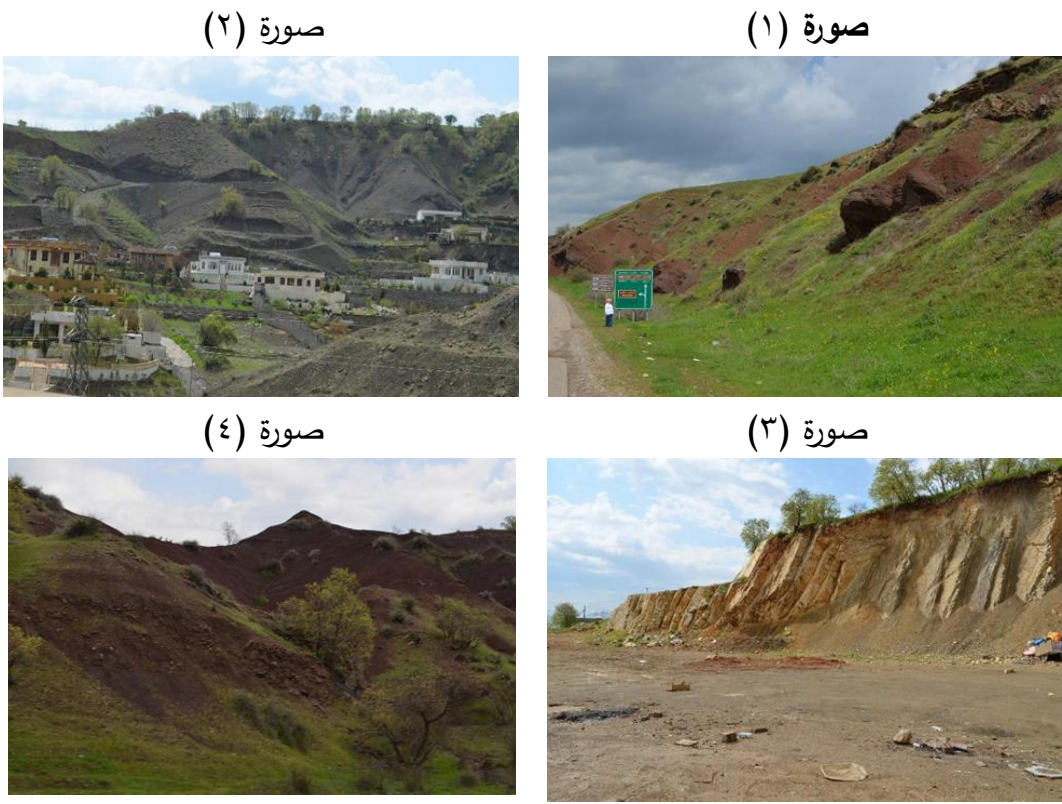
۲- استخدام برنامج ۸-۱۰.۸ Arc Map.۱۰.۸

المجموعتا ناوبردان ووالاش (الباليوسين – الايوسين): تتكون من صخور الفيللايت والحجر الرملي والحجر الجيري الصفيحي، يرجع إلى عصري الايوسين والاوليكوسين (الطالباني، ٢٠٠٩، صفحة ٥٨) في حين تتألف مجموعة والاش من تكتلات وتدفقات الحمم البركانية وحمم الوسائد والرماد. (P17, P17) تبلغ مساحتها (٢٧٠٢كم²). والمجموعتان تتباينان في صلادتهما ومقاومتهما للتعرية المائية ولكن بشكل عام فمقاومتهما هي متوسطة.

- ٢. تكويني تانجيروا وعقرة جخمة (الكريتاسي الأعلى): يتألف تكوين تانجيرو من طبقات من التكتلات غير الصلاة، ويتكون من صخور رملية مع الحصى بشكل أساس من الحجر الجيري والصوان النادر جداً، اما تكوين عقرة بخمة فيتكون بشكل أساس من الحجر الجيري والدولوستون الأحجار الجيرية رمادية فاتحة بنية صلبة إلى شديدة الصلابة دولوميتية، بيتومينية (Sissakian & Al-Jiburi, 2014, p. 111) بلغت مساحة التكوينين (٥٨.١٢) من مساحة منطقة البحث. إن مقاومة تكوين تانجيرو للتعرية المائية هي ضعيفة، بينما مقاومة تكوين عقرة بخمة للتعرية المائية شديدة جداً، ولذلك يشكل هذا التكوين غالبية المرتفعات في منطقة البحث.
- ٣. تكوين شيرانش (الكريتاسي الأعلى): يتكون من تناوب الصخور الطينية الرمادية المخضرة والحجر الجيري الرمادي الفاتح (Al-Qayim & others, 2019, P78).
 تبلغ مساحته (٦٦.٣٦كم²). تتباين مقاومة تكوين شيرانش للتعرية المائية، ولكن بشكل عام فمقاومته هي متوسطة.
- خ. تكوينات كوميتان بالامبو سارمورد (الكريتاسي الاوسط الأسفل): يتألف تكوين كوميتان من الصخور الجيرية (Al-Zubedi, 2022, p. 33) في حين يتألف تكوين بالامبو من الحجر الجيري رمادي فاتح والحجر الجيري رمادي مخضر مع طبقات من حجر المارل تتباين مقاومة تكويني كوميتان وبالامبو للتعرية المائية ولكن بشكل عام فمقاومتهما تتراوح بين متوسطة إلى شديدة. (Al-Qayim & others, 2019, p. 78)
- مدملكات قلقلة (الكريتاسي): تتكون من تكتلات المدملكات الحجر الجيري والحجر الجيسي والصيوان، الجيسري الرملي مري الرملي والصيوان، الحجسر الجيسري الاوليت والصيوان، (Jassim & Jeremn, 2006, P205)، وتظهر في المناطق الوسطى من الحوض، تبلغ مساحتها (٣١٠١٧٧ كم²)، ومقاومة مدملكات قلقلة للتعرية المائية شديدة الى الشديدة جداً.
- ٦. مجموعة شلير (الكريتاسي): تتألف من صخور شيست الكوارتز ⊢لسيريسيت وصخور الشيست الطينية مع قليل من أحجار جيري(Jassim & Jeremn, 2006, p. 210)، ومقاومة مجموعة شلير للتعرية المائية متوسطة. تبلغ مساحتها(٤٠٨.٩٧كم²).

- صخور نارية ومتحولة (الكريتاسي): تغطي مساحة (٢٠٤٥ كم²) تحتوي على صخور المافية ولافا البازلتية والاندلوسايت الرقيقة والشست،البايروكسين، الفللايات المتجانسة، النيايس، كوارتزايت، الانديسايت، السديورايت، الجابرو، الانسايس، كوارتزايات، الانديسايت، السخور النارية متباينة بين متوسطة (AI-Saady, 2015, P17). مقاومة هذه الصخور النارية متباينة بين متوسطة وشديدة.
- ٧. صخور گيمو (البين -سيومينين): يتألف هذا التكوين من طبقات متماسكة وسميكة صلبة من الرخام و الشست الكلسي متداخلة مع صخور بازلتية وتشير خصائصهما إلى بيئة متحولة شديدة تعود إلى عصور جيولوجي قديمة (.AL-SAADY, 2016, p.) تبلغ مساحة التكوين (٢٠٤٤)، تظهر هذه الصخور مقاومة عالية جداً للتعرية المائية نظراً لطبيعتها الكتلية وصلابتها الميكانيكية.
- ٨. تكوينات جياكارا حاوكليكان حارسرين (الكريتاسي الاسفل-الجوراسي الاعلى): يتألف تكوين جياكارا من الحجر الجيري مكروي سميك ورقيق يتناوب مع صخور كلسية وامونيت بلغ مساحته (٣٠.٩٧). (Jassim & Jeremn, 2006, p. 128). اما تكوين ناوكليكان فيتألف من الحجر الجيري الطيني والحجر الجيري الرمادي الداكن أو المزرق (Sissakian & Al-Jiburi, 2014, p. 90) الصلب يتألف تكوين بارسرين من الحجر الجيري والحجر الجيري الدولوميتي يحتوي على صفائح من الصوان من الحجر الجيري والحجر الجيري الدولوميتي يحتوي على صفائح من الصوان من الحجر الجيري والحجر الجيري الدولوميتي يحتوي على صفائح من المائية من الحجر الجيري والحجر الجيري الدولوميتي حتوي على التعرية المائية شديدة جداً.
- 9. ترسبات السهل الفيضي (الهولوسين): تغطي مساحة (١٧٩.٢٨م²) من مساحة منطقة البحث، تتكون من رواسب نهرية غير متماسكة ممثلة بالحصى ،والرمل، والغرين، تنشر بشكل نطاق ضيق على امتداد مجاري الروافد الرئيسة لحوض همي قيشان في الجزء الشرقي والجنوبي منه. مقاومة هذه الترسبات للتعربة المائية ضعيفة جداً.
- 1. ترسبات المراوح الغرينية والشرف النهرية (البلايستوسين-الهولوسين): بلغت مساحتها (١٧٢.٣٠كم²) من مساحة منطقة البحث، تتنشر بشكل واضح ضمن نطاق الطيات العالية، وتتألف الحديثة من عمر الهولوسين من تربة طينية مع قطع صخرية متنوعة وصغيرة، في حين أن الجزء الآخر من الترسبات الأقدم من عمر البلايستوسين تنتشر على طول السلاسل الجبلية ومتكونة من شظايا الصخرية، والتي تشتق مباشرة من التكوينات المكشوفة في المناطق القريبة، وتكون متماسكة ومغطاة محلياً بترسبات صلدة جداً من الكالكريت (Calcrete). (Calcrete)

مقاومة هذه الترسبات للتعربة المائية تتباين ما بين ضعيفة (الترسبات من عمر الهولوسين) الى شديدة التعربة تعود إلى (الترسبات من عمر البلايستوسين).



المصدر: منحدر الطبقات الحمراء في الجزء الادني المصدر: منحدرات تكوين تانجيرو، بالحظ شدة الدر اسة الميدانية، بتاريخ ٤/٧ /٢٠٢٥.

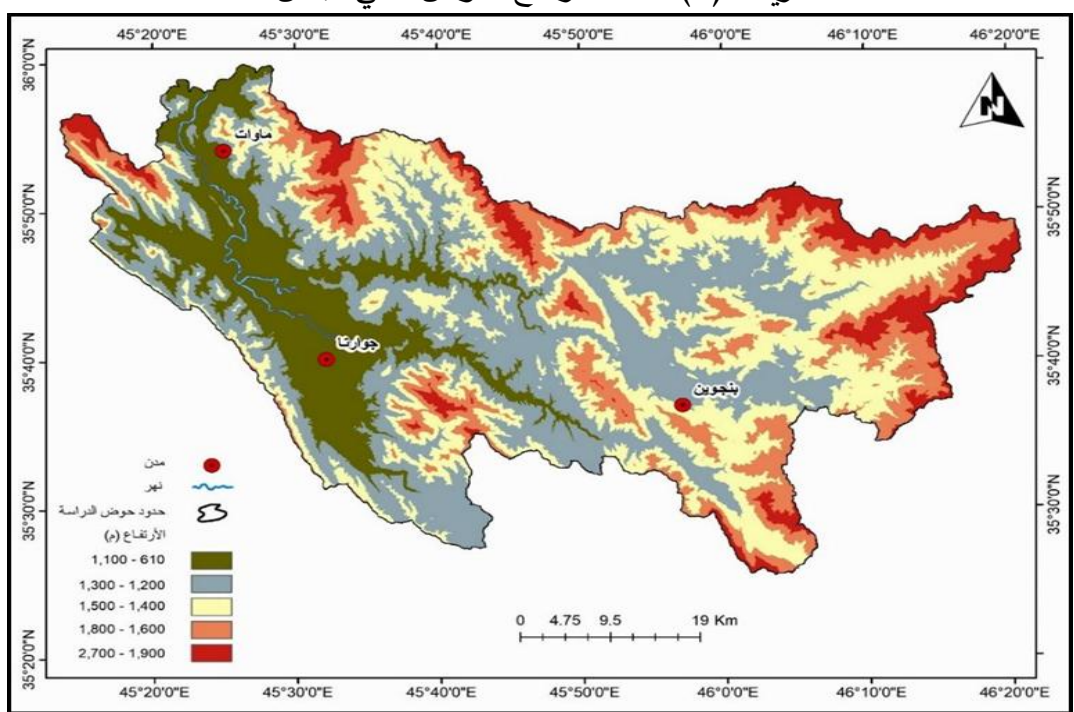
من الحوض، طريق الرابط بين جوارتا وماوات، التعرية و تشكيل الاحواض صغيرة، قرية تكران، الدراسة الميدانية، بتاريخ ٤/٧ /٢٠٢٥.

ثانياً) الخصائص التضاربسية لحوض همى قيشان:

١. الارتفاع:

تم استخراج خريطة الارتفاعات لحوض همى قيشان باعتماد نموذج التضرس الرقمى، وبلاحظ التدرج في الارتفاع من الشمال والشرق باتجاه الجنوب على امتداد القطاع الطولي للحوض وتم تقسيمه إلى خمس فئات وتبين أن أعلى فئة ارتفاع الحوض تبلغ (٢,٧٠٠ -١٠٩٠٠م) فوق مستوى سطح البحر، والذي يشغل مناطق تقسيم الحوض، فضلًا عن الأجزاء الوسطى منه، وأقل فئة تبلغ (١,١٠٠ - ١٦٠م) فوق مستوى سطح البحر، ضمن الحدود الدنيا للحوض والتي تشكل التقاء الروافد الرئيسة لحوض همي قيشان في الجزء الجنوبي منه. يلاحظ الخريطة (٣) والجدول (١). يلاحظ الصور (٥و٦).

خريطة (٣) فئات الارتفاع لحوض همي قيشان



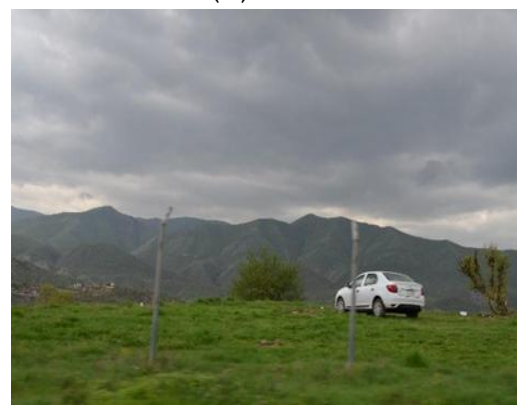
المصدر: باعتماد بيانات القمر (ASTER GDEM) لسنة ٢٠١٦ وبرنامج ٢٠٠٨ ArcGIS

جدول (١) فئات الارتفاع لحوض همي قيشان

النسبة (%)	المساحة (كم²)	الارتفاع (م)	ت
17.00738	522.84	1,100 - 610	.1
32.50828	999.38	1,300 - 1,200	.2
27.0862	832.69	1,500 - 1,400	.3
16.59276	510.10	1,800 - 1,600	.4
6.80549	209.22	2,700 - 1,900	.5

المصدر: اعتماداً على خريطة (٢) وبرنامج استخدام برنامج ١٠.٨ ArcGIS





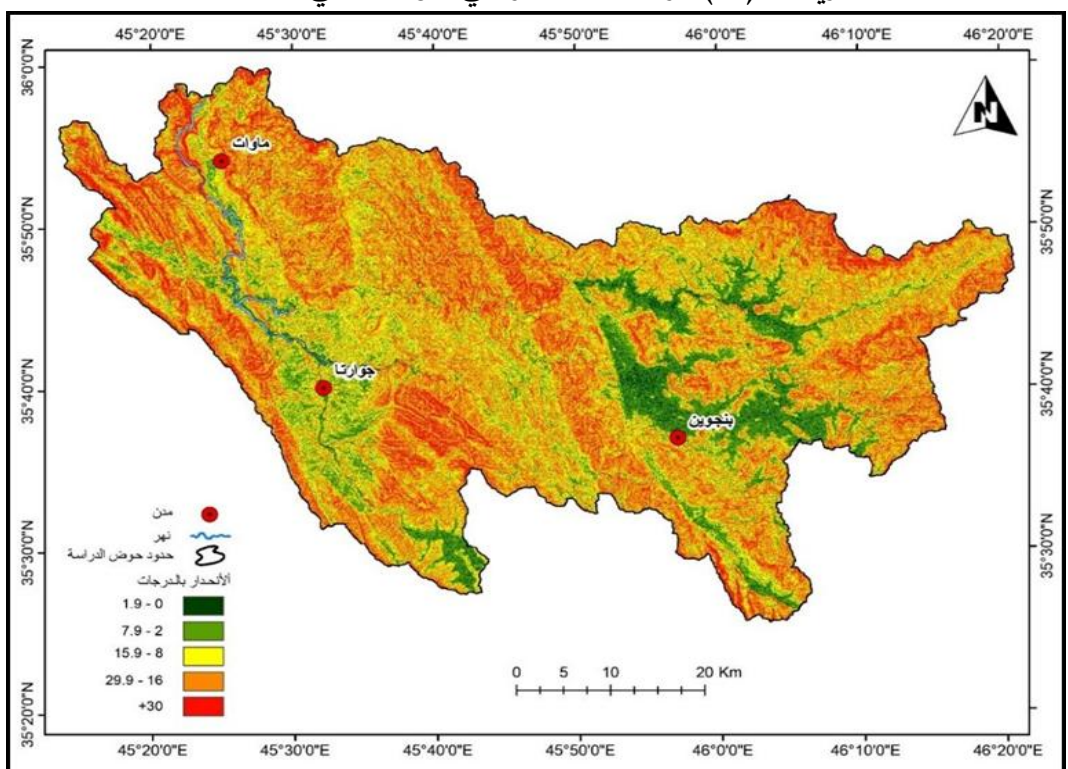


المصدر: مناطق تقسيم الحوض الجزء الشمال الغربي، الدراسة الميدانية، بتاريخ ٤/٧ /٢٠٢٥

Slope: عامل الانحدار. ٢

يعد عامل الانحدار من أهل العوامل المؤثرة في حدوث تدهور التربة. أظهرت العديد من الدراسات أن التضاريس الأكثر انحدارا أكثر قابلية للتعرية من التضاريس الأكثر انخفاضا (Alagar & others, 2017, p) تم تصنيف منحدارات الحوض باعتماد نموذج التضرس الرقمي ، و تصنيف زنك خريطة (٤) وجدول (٢). وتم تقسيم هذه المنحدرات إلى خمس فئات انحدارية وباعتماد نموذج الارتفاع الرقمي للمنطقة تبين أن أغلب مساحة الحوض هي ضمن صنف مقطع ومجزأ بدرجة عالية تراوحت درجة انحدارها بين (+٠٠- ١٦٠). يلاحظ الصور (٧و٨) . أن زيادة التضرس ودرجة الانحدار يؤدي إلى زيادة الكثافة التصريفية والتكرار والتصريف المائي والقوة الحتية والناتج الرسوبي للأنهار ووعورة السطح ومعدل التشعب النهري (سلامة، ٢٠٠٧، صفحة ١٨٣).





المصدر: اعتماد بيانات القمر (ASTER GDEM) وبرنامج ١٠.٨ ArcGIS

جدول (۲) درجات الانحدار في حوض همي قيشان

النسبة (%)	المساحة (كم²)	درجات الانحدار	نوع السطح	ت
3.02	92.37	0 - 1.9	سطح مستوي	.1
18.08	553.75	2 - 7.9	تموج خفيف	.2
27.42	839.90	8 - 15.9	متموج	.3
40.22	1231.84	16 - 29.9	مقطع – مجزأ	.4
11.26	344.75	30+	مقطع بدرجة عالية	.5

المصدر: اعتماد خريطة (٤) واستعمال برنامج ١٠.٨ ArcGIS

صورة (۸)

صورة (٧)



المصدر: توضح اتجاه المنحدر نحو مجرى همي بتاریخ ۲۰۲۵/ ۲۰۲۵

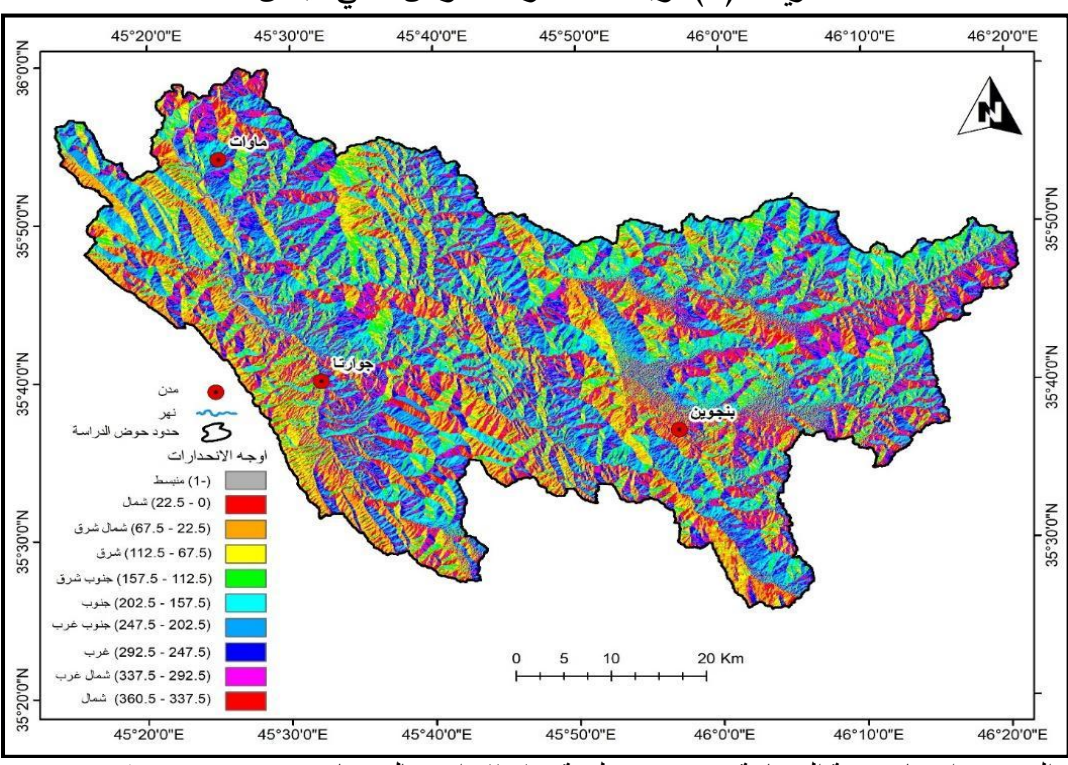


المصدر: منحدرات مقطعة لتكوين كولوش في الجزء الاوسط من الحوض ، يلاحظ تشكيل قيشان واحجام الكتل الصخرية الزاحفة باتجاه الاحواض الثانوية التي تصب في المجرى المجرى الرئيس، ناحية ماوات ، الدراسة الميدانية ، الرئيس، الدر اسة الميدانية ، بتاريخ ٤/٧ /٢٠٢٥

Aspect: عامل اوجه المنحدرات. ٣

يعد اتجاه المنحدر احد العوامل الرئيسة التي تسهم في قابلية التربة للتأكل وهذا يعبر عن استقرار تجمعات التربة وتعرضها لأشعة الشمس (Halefom & others, 2018,P192) تم تحديد الاتجاهات السائدة في حوض همي قيشان وتبين أن الاتجاه السائد للمنحدرات هو جنوب- غرب بنسبة مساحة (١٥٠٣٢%) يليه الاتجاه شمال- شرق بنسبة (١٣٠٦٩%) من مساحة منطقة البحث، إذ إن الاتجاه الشمال الشرقى أقل عرضة للإشعاع الشمسى المباشر، وعليه يحتفظ بالرطوبة وذات غطاء نباتى أكثر من الاتجاه الجنوب الغربي الذي يكون أكثر عرضة للإشعاع الشمسي المباشر ولهذا يتعرض للتعربة أكثر من الوجه المقابل له. يلاحظ الخريطة (٥) والجدول (٣).

خريطة (٥) أوجه الانحدارات لحوض همى قيشان



المصدر: اعتماد مرئية الفضائية نوع DEM لسنة ٢٠١٥ واستعمال برنامج (Arcmap10.8) جدول (٣) أوجه الانحدارات في حوض همي قيشان

النسبة (كم²)	المساحة (%)	أوجه الانحدار	ت
6.25	191.34	منبسط (۱-)	.1
13.69	419.29	شمال شرق (۲۷.۵ – ۲۲.۵)	.2
12.41	380.06	شرق (۱۱۲.٥ – ۲۷.٥)	.3
10.35	316.94	جنوب شرق (٥٠.٥ – ١١٢.٥)	.4
12.66	387.77	جنوب (۲۰۲.٥ – ۱۵۷.٥)	.5
15.32	469.04	جنوب غرب (۲٤٧.٥ – ۲۰۲.٥)	.6
13.59	416.08	غرب (۲۹۲.۵ – ۲۹۲۵)	7
10.72	328.39	شمال غرب (۳۳۷.۵ – ۲۹۲.۵)	8
5.02	153.65	شمال (۳۳۷.۵ – ۳۲۷.۵)	9

المصدر: اعتمادا على خريطة (٥).

رابعاً) مؤشر الموضع الطبوغرافي Topographic Position Index:

يوضح هذا المؤشر تأثير عامل التضاريس على معدل التعرية والتي تزداد مع زوايا المنحدر وطول المنحدر (Azmeri & others , 2022, P111)، إذ تشير القيم السالبة إلى المواقع المنخفضة نسبياً و تشمل: قيعان الوديان والمناطق المستوية، في حين تشير

القيم الموجبة الى المواقع المرتفعة مثل: القمم والتضاريس الحادة. تم تصنيف المؤشر الطبوغرافي إلى خمس فئات، الخريطة (٦) والجدول(٤)، إذ تراوحت قيمها في حوض همي قيشان بين (-٤.٨ - ٣٠٥٠) و(٥٤.٩ - ٣٠٧) ويظهر من الجدول أن أغلب مساحة الحوض ذات انحدارات مضرسة ،و تشكل مخاطر جيومورفولوجية اذ تؤثر الخصائص الطبوغرافية للحوض بشكل مباشر على زيادة سرعة التدفق وتوليد الجريان السطحي ونقل الرواسب الناتجة عن عملية الحت.

خريطة (٦) مؤشر الوضع الطوبوغرافي لحوض همي قيشان 46°10°1 46°40°2 46°40°2 46°40°2°1 46°40°2°1 46°40°2°1 46°40°2°1 46°40°2°1 46°40°2°1 46°40°2°1 46°40°2°1 46°40°2 35°50'0"N 45°20'0"E 46°0'0"E 45°30'0"E 45°40'0"E 45°50'0"E 46°10'0"E

المصدر: Elevation ASTER Global Digital لسنة ٢٠٢٢ واستعمال برنامج (ArcGIS10.8) جدول (٤) مؤشر الوضع الطوبغرافي لحوض همي قيشان

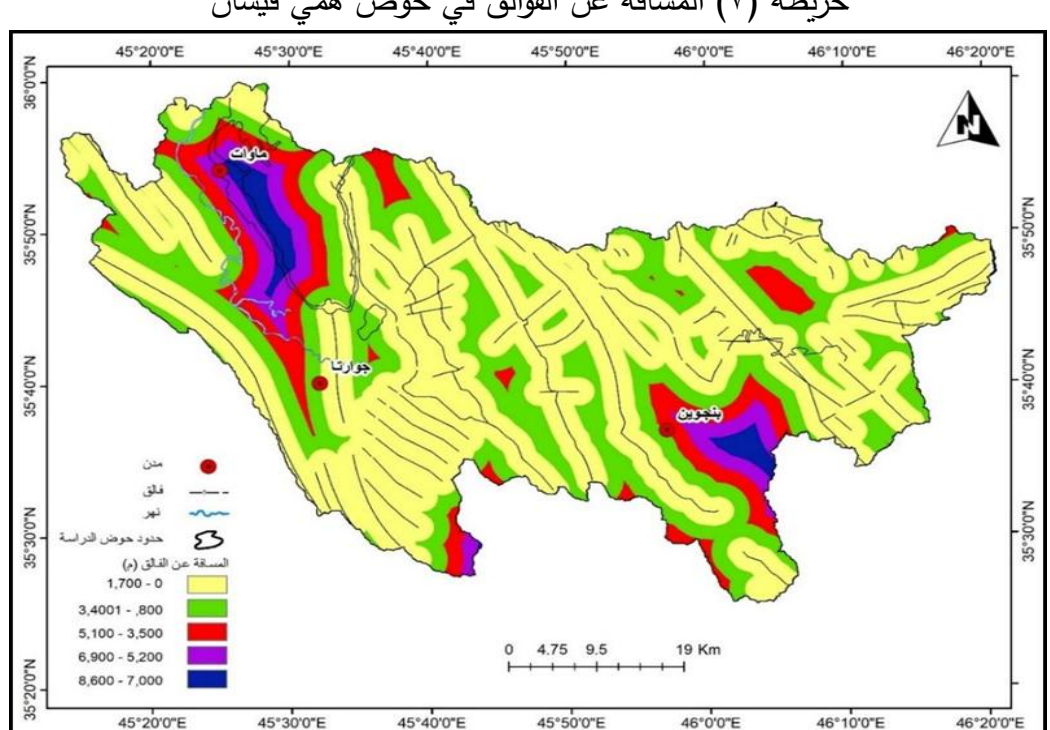
المساحة (%)	المساحة (كم²)	مؤشر الوضع الطوبغرافي	Ĺ
3.35	103.0356	-4.83.52	.1
27.66	850.2579	-14.7	.2
23.92	735.2064	0.20.9	.3
2.49	76.6521	2.3 - 0.3	.4
40.32	1239.439	5.7 – 2.4	.5
2.27	69.6474	54.9 - 3.7	6.

المصدر: اعتماد خريطة رقم (٦) باستعمال برنامج (ArcGIS 10.8)

خامساً) المسافة عن الفوالق:faults Distance from

تكتونياً تنتمي منطقة البحث الى نطاق الطيات العالية غير المستقرة، والتي تشكل جزءاً من الصفيحة العربية، ومن ثم فإن التأثيرات التكتونية والبنيوبة قد تحكمت في نوع الصخور المكشوفة وسمكها وامتداداتها السطحية وتحت السطحية ,Sissakian & Al-Jiburi) 2014, p. 76). تضعف الصدوع كتل الصخور ومواد التربة وهذا يسبب لها عدم توازن ،وبجعلها أكثر عرضةً للانهيارات الارضية؛ بسبب القرب من هذه الصدوع، إذ إن الصخر الأساس القربب من العناصر التركيبية يتعرض لتوتر تكتوني؛ لذلك فهي غير مستقرة؛ لذلك تصبح التربة أكثر عرضة للتعربة . (CELLEK, Seda, 2022, p. 96).

إذ تمتاز منطقة البحث بكثافة الصدوع والفوالق المنتشرة في الحوض بسبب تواجدها في نطاق الطيات العالية ذات النشاط التكتوني. تمت الاستعانة بمؤشر المسافة عن الفوالق لقياس معدل التعربة في الحوض من الخريطة (٧) والجدول (٥) يتضح أن أغلب فئات المسافة عن الفوالق هي متقاربة تتراوح بين أقل فئة (٠-٧٧. ١م) وأعلى فئة (٠-٨,٦٠٠ -٧,٠٠٠ م).إذ إن الأنشطة التكتونية الأقوى تزيد من انحدار المنحدر ومن ثم تزيد من عدم استقرار ومعدلات التعربة. وتشير الدراسات إلى أن هناك علاقة ارتباطية بين معدلات التعربة والمسافة إلى صفحية التكتونية أنه كلما ابتعدنا عن حدود الصفائح التكتونية كلما كانت معدلات التعربة أبطأ (Hagar & others, 2017, p. 3)



خريطة (٧) المسافة عن الفوالق في حوض همي قيشان

المصدر: الخريطة الجيولوجية لمنطقة البحث وباستعمال برنامج (ArcGIS 10.8)

جدول (a) المسافة عن الفوالق في حوض همي قيشان

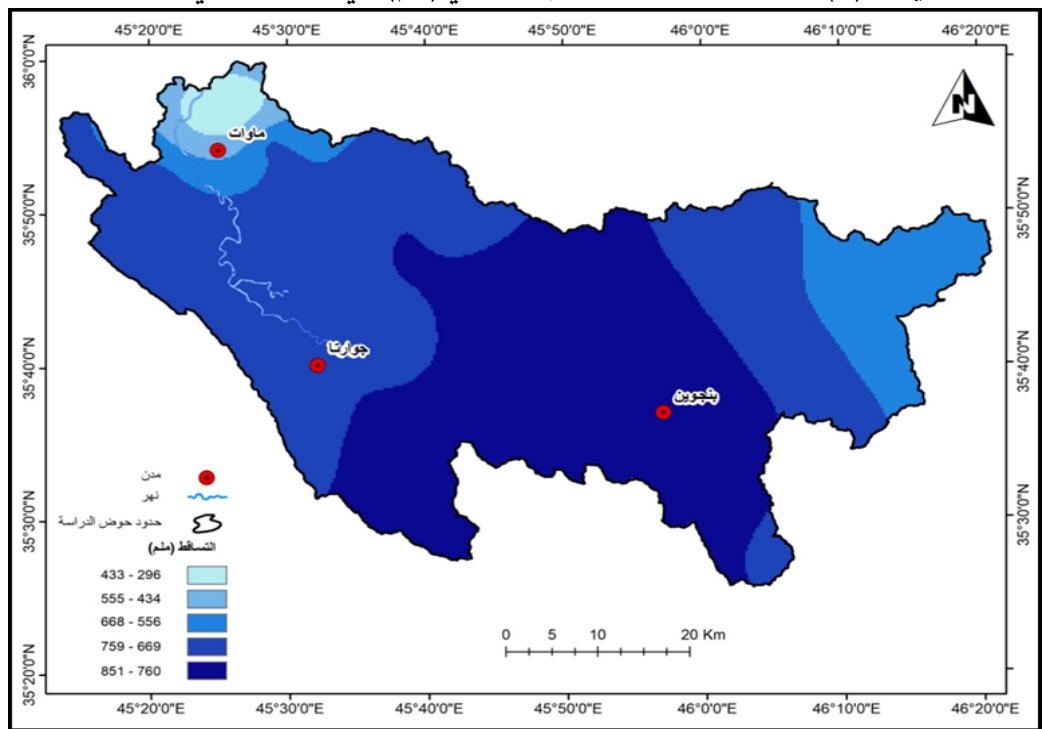
			I
النسبة %	المساحة (كم²)	المسافة الى الفالق (م)	ت
56.60	1801.89	1,700 – 0	.1
24.77	788.39	3.4001 - 800	.2
8.94	284.73	5.100 - 3.500	.3
4.30	136.85	6.900 - 5.200	.4
1.92	61.01	8.600 - 7.000	.5

المصدر: اعتماد جدول رقم (٥)

سادساً) مجموع التساقط المطري:

يعد عامل التساقط أحد المعايير المهمة لتقويم مخاطر تعرية التربة في ظل استعمالات الأراضي، ومن أجل إنتاج خريطة توزيع كثافة التساقط في حوض همي قيشان، تم اعتماد بيانات المناخ العالمي بدقة مكانية (٣٠) ثانية لكل (كم²) (٢٠٠٦، المناخ العالمي بدقة مكانية (٣٠) ثانية لكل (كم²) (٢٠٠٦، المنف، وتم جمع هذه كل ملف مضغوط على(١٢) مرئية الواحدة منها تمثل شهرا من أشهر السنة، وتم جمع هذه الطبقات للأشهر المطرية باستعمال برنامج نظم المعلومات الجغرافية بطريقة اداة جمع وذلك؛ للحصول على مجموع التساقط المطري للحوض للمدة من (١٩٧٠- ٢٠٢٠)، إذ يخضع مناخ منطقة البحث الى مناخ البحر المتوسط والتي تتصف بسقوط الأمطار شتاء يخضع مناخ منطقة البحث الى مناخ البحر المتوسط والتي تتصف بسقوط الأمطار صيفاً تزامناً مع ارتفاع درجات الحرارة (, ٢٠٨٦) من مجموع الأمطار السنوية وانقطاع الأمطار صيفاً ملم والتي تعد أعلى قيمة للتساقط الى خمس فئات، وتبين أن فئة التساقط (٢٥٠ – ٢٧) ملم وبمساحة بنجوين بمساحة بلغت (٢٠٠٠كم²)، تليها فئة التساقط (٢٥٩ – ٢٦) ملم وبمساحة بلغت (٢٠٠٠كم²)، تليها فئة للتساقط مطري كان ضمن الأجزاء الشمالية الغربية من الحوض. إن هذا التباين له أثره في اختلاف الشمالية الشرقية والأجزاء الشمالية الغربية من الحوض، يلاحظ الخريطة (٨) والجدول (٢).





المصدر: ۱- Hoare, R., 2006. World Climate: Weather Rainfall and Temperature مادد: ۱- Data. On-line database. n. pag. http://www. world climate. com, 15. ۱۰.۸ Arc map ٢-باستعمال برامج

جدول (٦) فئات التساقط (ملم) في حوض همي قيشان للمدة من (١٩٧٠-٢٠٠)

النسبة(%)	المساحة (كم²)	التساقط (ملم)	ت
1.60	49.26	433 – 296	.1
1.83	56.22	555 – 434	.2
11.22	344.88	668 - 556	.3
44.68	1373.69	759 – 669	.4
40.68	1250.77	851 – 760	.5

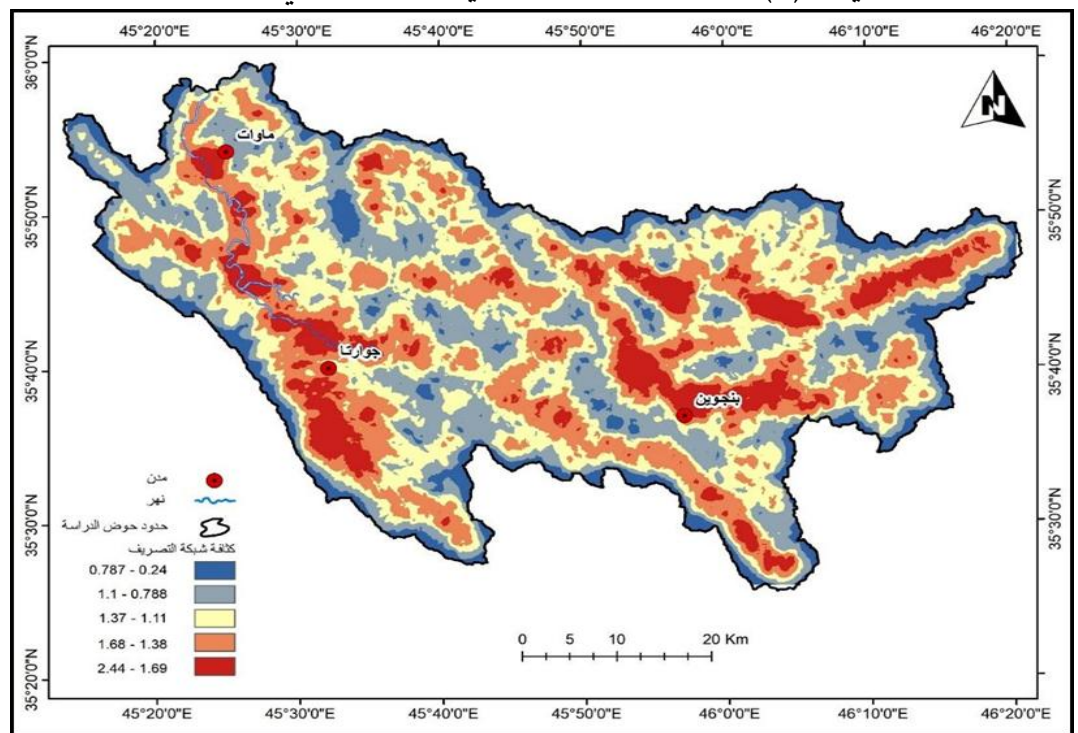
المصدر: اعتماد خريطة رقم (٨)

سابعاً) كثافة شبكة التصريف:

تعد أحد المؤشرات المهمة التي توضح العلاقة بين عمليات الحت النهري من جهة وخصائص السطح من جهة ثانية، إذ إن القيم العالية تشير الى شدة تقطع الحوض بشبكة التصريف وارتفاع كفاءة الشبكة المائية بنقل الحمولة وتخفيض ارتفاع السطح. تم اشتقاق شبكة التصريف النهري للحوض اعتماد مرئية القمر الصناعي Sentinel2وتم استخراجها من المعادلة الآتية (ستريلر، ١٩٦٤، صفحة ٤٢)

كثافة أطوال المجاري المائية = مجموع أطوال الروافد/ مساحة الحوض النهري وأظهرت نتائج احتساب قيم كثافة التصريف في حوض همي قيشان، إذ تراوحت اعلى قيمة (٢٠٤٤ - ١٠٦٩) وبنسبة (٢٠٠٠%) من مساحة منطقة البحث، وهي تتركز ضمن الأجزاء الشرقية والوسطى والجنوبية، يلاحظ صور (٩ و ١٠). وتشير إلى كثافة أطوال الأودية والى شدة تقطع الحوض بشبكة الروافد والتي تعد انعكاساً للخصائص البنيوية والتضاريسية وفاعلية التساقط السائدة في الحوض. إن الكثافة العالية تزيد من سرعة الجريان ومن ثم زيادة في فقدان التربة. يلاحظ الخريطة (٩) والجدول (٧). والصور (١١و١٢).

خريطة (٩) فئات كثافة شبكة التصريف لحوض همي قيشان



المصدر: بالاعتماد على بيانات القمر ASTERGDEM بدقة ٣٠ متر لسنة ٢٠١٣ واستعمال برنامج .٨ArcGIS

جدول (٧) كثافة شبكة التصريف في حوض همي قيشان

النسبة (%)	المساحة (كم 2)	كثافة التصريف	ت
10.14	311.39	0.787 - 0.24	.1
25.34	778.24	1.1 - 0.788	.2
28.72	882.13	1.37 - 1.11	.3
25.20	774.05	1.68 - 1.38	.4
10.60	325.43	2.44 - 1.69	.5

المصدر: اعتماد خريطة (٩)

صورة (٩)



قيشان الرئيسة، قرية خي وته ،باتجاه طريق ناحية مجرى نهر قيشان الرئيس بعد التقاء رافديه الرئيسين عند قرية موكاف شمال غرب جوارتا ، بتاریخ ۷/۷ /۲۰۲۵.



المصدر: مجرى أوه سيوة احد روافد نهر همي المصدر: منحدرات جبـل قشـان وشـاخي اسـفلها ماو ات بتاریخ ٤/٧ /٢٠٢٥.

صورة (۱۲)



المصدر: جسر خيه وته، اسفله مجرى آوه سيوه احد المصدر: منحدرات جبل بهار اسفله مجرى روافد همي قيشان الرئيسة، منطقة خيه وته، الدراسة قلاجولان احد روافد مجرى نهر همي قيشان ،



الدراسة الميدانية ،بتاريخ ٤/٧ /٢٠٢٥

ثامناً) عامل الغطاء الأرضى واستعمالات الأرض Land use/land cover:

تمت الاستعانة بخريطة استعمالات الأرض؛ لتحديد قابلية التربة في حوض همي قيشان للتعربة، وتنوعت استعمالات الأرض في الحوض فظهرت لدينا ثمانية أصناف، كما موضح من الخريطة (١٠) والجدول (٨)، وتبين أن مساحة الغطاء النباتي الطبيعي والذي يشمل الغابات والأشجار والمراعى يشكل المساحة الغالبة مقارنة بباقي أصناف استعمالات الأرض الأخرى، وتشكل نسبة (٣٧.٥٧%) من مساحة منطقة البحث. وبلاحظ تركزها في مناطق مختلفة ولاسيما الأجزاء الوسطى حول مجاري الروافد والسهل الفيضى والمراوح الغربنية التي تتلقى كميات كافية من التساقط المطري والثلجي كما تبين من الدراسة الميدانية أن أغلب مساحة الحوض مغطاة بالأشجار، وبطلق عليها (دار برو)، وهذا راجع إلى نوع التربة والكثافة التصريفية في الحوض و كثافة التساقط وهذا مما له أثر واضح في الحد من

عمليات التعرية المائية. تليها من حيث النسبة الأراضي القاحلة المختلطة بلغت نسبتها (٣١.٨٧) من مساحة منطقة البحث. في حين بلغ أقل صنف وهو المناطق الحضرية (٣١.٠٧) من مساحة منطقة البحث. أما صنف المياه فمن الصعوبة تصنيفه؛ بسبب دقة المرئية الفضائية التي لا تساعد على إظهاره فقط مياه الوديان العميقة، يلاحظ الصور (٣١و٤ او ١٥ و ١٥).

NAOF-SE 45°300°E 45°400°E 45°500°E 46°100°E 46°100°E 46°200°E 46°

خريطة (١٠) الغطاء الأرضي واستعمالات الأرض في حوض همي قاشان

. المصدر:اعتماد مرئية القمر الصناعي LANDSAT ^ بتاريخ ٢٠٢٤/٩/٢٦ والخريطة الجيولوجية لمنطقة البحث واستعمال برنامجArcGIS 10.82 .

جدول (٨) أصناف غطاء واستعمالات الأرض في حوض همي قيشان

∓	∓	- ' ' -	
النسبة (%)	المساحة (كم²)	الأصناف	ت
31.87	978.98	اراضي قاحلة مختلطة	.1
6.70	205.84	صخور كاربوناتية	.2
4.47	137.36	صخور فتاتية	.3
8.31	255.43	اراضي زراعية	.4
10.90	334.94	صخور نارية ومتحولة	.5
0.18	5.40	مناطق حضرية	.6
0.00	0.00	میاه	.7
37.57	1154.32	غطاء نباتي	.8
·	·	(1) " 1	. 11

المصدر: اعتماد خريطة (١٠).

صورة (١٤) صورة (۱۳)



المصدر: سهل البيدمنت والتي أقيمت عليها المناطق السكنية قرب منحدرات الجزء الجنوبي الغربي ويلاحظ تعرضها لعملية الحت المائي ، الدراسة الميدانية ،بتاريخ ٤/٧ /٢٠٢٥



المصدر: توزيع المستقرات البشرية مع توزيع الغطاء النباتي عند منحدرات منطقة سيتك جنوب غرب المنطقة، الدراسة الميدانية، بتاريخ ٤/٧

صورة (١٥) صورة (١٦)



المصدر: كثافة الغطاء النباتي في منطقة قه لا المصدر: كثافة الغطاء النباتي في منطقة سيتك

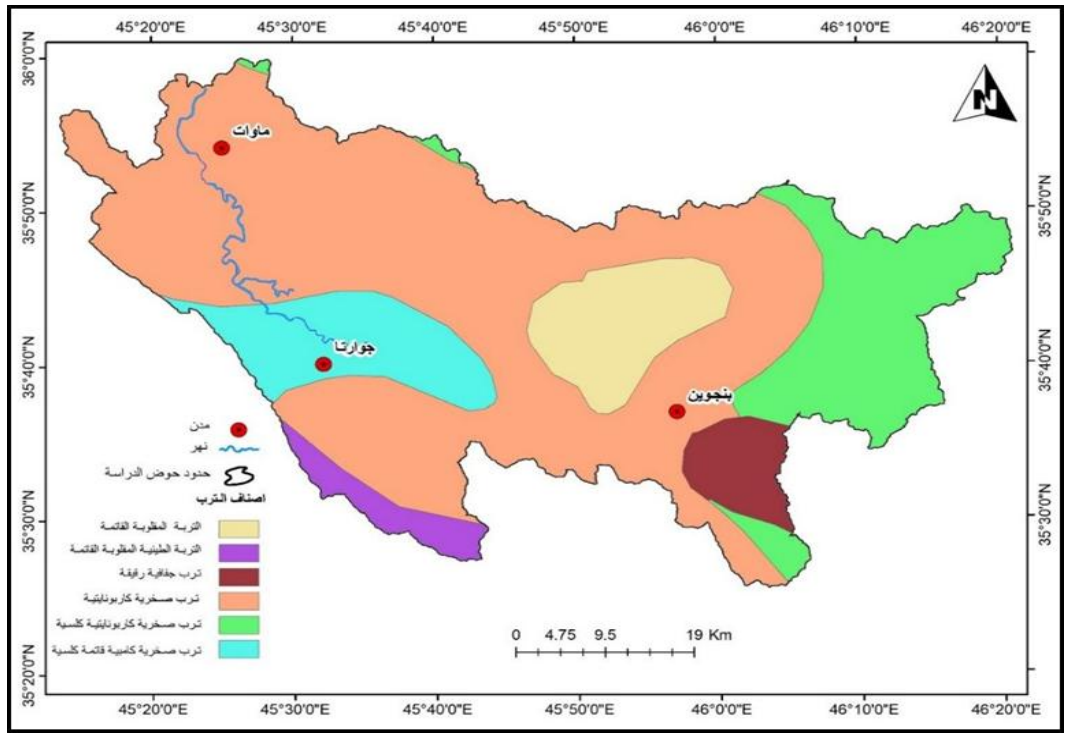


جوالان ، مرتفعات ميركه بان الدراسة الميدانية، الدراسة الميدانية، بتاريخ ٧/٤ / ٢٠٢٥ بتاریخ ۲۰۲۵/ ۲۰۲۵

تاسعاً) عامل التربة:

يعد عامل التربة أحد العناصر الأساسية التي تؤثر على تعربة التربة، والتي تشمل نسيجها ومحتوى الرطوبة فيها ،وخشونتها، ومادتها العضوية، وخصائصها الكيميائية والبيولوجية (TESHOME, 2023, p. 4) . تم تصنيف أنواع التربة في منطقة البحث باعتماد تصنيف الفاو، الخريطة (١٠) والجدول (٩) وظهرت لدينا ستة أصناف من التربة وتبين أن صنف ترب صخربة كاربونايتية ذات المحتوى الجيري وهي مشتقة من صخور الأم الشائعة في الحوض، إذ تشكل أغلب مساحة الحوض بنسبة بلغت (٦١.٤٩) من مساحة الحوض، تنتشر في الأجزاء الوسطى والشمالية الغربية وبعض المناطق من الجزء الجنوبي من الحوض، في حين تشكل الترب الطينية المقلوبة القاتمة وترب الجفافية الرقيقة النسب الأقل، وبلغت (٢.٦٠%) و(٣.٥٩%) من مساحة منطقة البحث على التوالي، وهي تغطى مساحة من الجزء الشرقي والمنطقة الوسطى من الحوض.

خريطة (١٠) أصناف الترب بحسب منظمة الأغذية العالمية (FAO)



THE DIGITAL SOIL MAP OF THE WORLD. FOOD AND AGRICULTURE ORGANIZATION OF THE UNITED NATIONS, Version 3.6, completed ArcGIS 10.82. استعمال برنامج January 2003.

جدول (٩) أصناف الترب في حوض همي قيشان بحسب تصنيف الفاو

النسبة	المساحة	الرمز	الاسم	صنف الترب	Ü
(%)	(کم²)				
61.49	1890.23	I-E-bc	Calcic	ترب صخرية كاربونايتية	.1
			Lithosols		
8.89	273.43	I-E-Xk-	Chromic	ترب صخرية كامبية قاتمة	.2
		bc	Cambisols-	-	
			Calcic	كلسية	
			Xerosols		
15.41	473.89	I-Rc-Xk-	Calcic -	ترب صخرية كاربونايتية	.3
		c	Calcaric		
			Lithosols	كلسية	
2.60	79.83	Vc1-3a	Chromic	التربة الطينية المقلوبة	.4
			Clay		
			Vertisols	القاتمة	
8.01	246.36	Vc50-	Chromic	التربة المقلوبة القاتمة	.5
		3ab	Vertisols	.,,,,,,,,,,,,,,,,,,,,,,,,,,,,,,,,,,,,,,	
3.59	110.50	Xh31-3a	Haplic Soil	ترب جفافية رقيقة	.6

المصدر: اعتماداً على خريطة (١١)

- نمذجة مخاطر التعربة المائية في حوض همي قيشان:

اجريت عملية مطابقة المؤشرات الجيومورفولوجية باستعمال تقنية (MCE) المدمجة باستعمال أدوات برنامج نظم المعلومات الجغرافية لرسم خربطة المناطق المعرضة لخطورة التعربة المائية، إذ تقوم هذه الطربقة على أساس تراكب طبقات عدة من المؤشرات المعاد تصنيفها باستعمال معيار قياس مشترك، وإعطاء قيمة تأثير لكل منها وفقًا لأهميتها. تم إنتاج الخريطة عبر مراكبة عشرة مؤشرات، إذ أعطيت أوزان لكل مؤشر وهي: [البنية الجيولوجية ١٥، الارتفاع ١٠، درجة الانحدار ١٠، اتجاه الانحدار ٥ ، المسافة عن الفوالق ٥ ، الموضع الطبوغرافي ١٠ ، كثافة التصريفية ١٠ ، كثافة التساقط ١٥ ، نوع التربة ١٠، استعمالات الارض ١٠] . ظهرت لدينا أربعة أصناف لتعربة التربة في حوض همي قيشان وهي على النحو الآتي: خربطة (١٢) وجدول (١٠)، والصور (٢٢،٢١،٢٠،١٩).

١. صنف مناطق تعربة واطئة: تشكل أقل المناطق تأثرا بتعربة التربة وتقع ضمن منطقة صغيرة جداً في أقصى الجزء الشمال الغربي من الحوض، ضمن مناطق تقسيم المياه ذات الانحدارات الشديدة والمتكونة من الطبقات الصخرية الناربة والمتحولة بلغت مساحتها (۱۷.۰کم²) وبنسبة (۱۰.۰%) من مساحة منطقة البحث.

٢. صنف مناطق تعربة متوسطة: تظهر بوضوح ضمن الأجزاء الشرقية من الحوض والأجزاء الشمالية الغربية فضلاً عن انتشارها في اجزاء مختلفة من الحوض، وتظهر ضمن منحدرات جبل قشان وجبل دوباسك في الجزء الشمال الغربي ، ذات تكوينات الصخور الناربة والمتحولة وتكوبن بالأمبو كوميتان - سرمود ومناطق صغيرة من تكوبنات عقرة - بخمة ومجموعة قلقلة وشلير وشيرانش، وبلغت مساحتها (٩٦٠٤٦ ٩كم²) وبنسبة (٣٣٠٣١) من مساحة منطقة البحث.

> صورة (۱۷) صورة (۱۸)



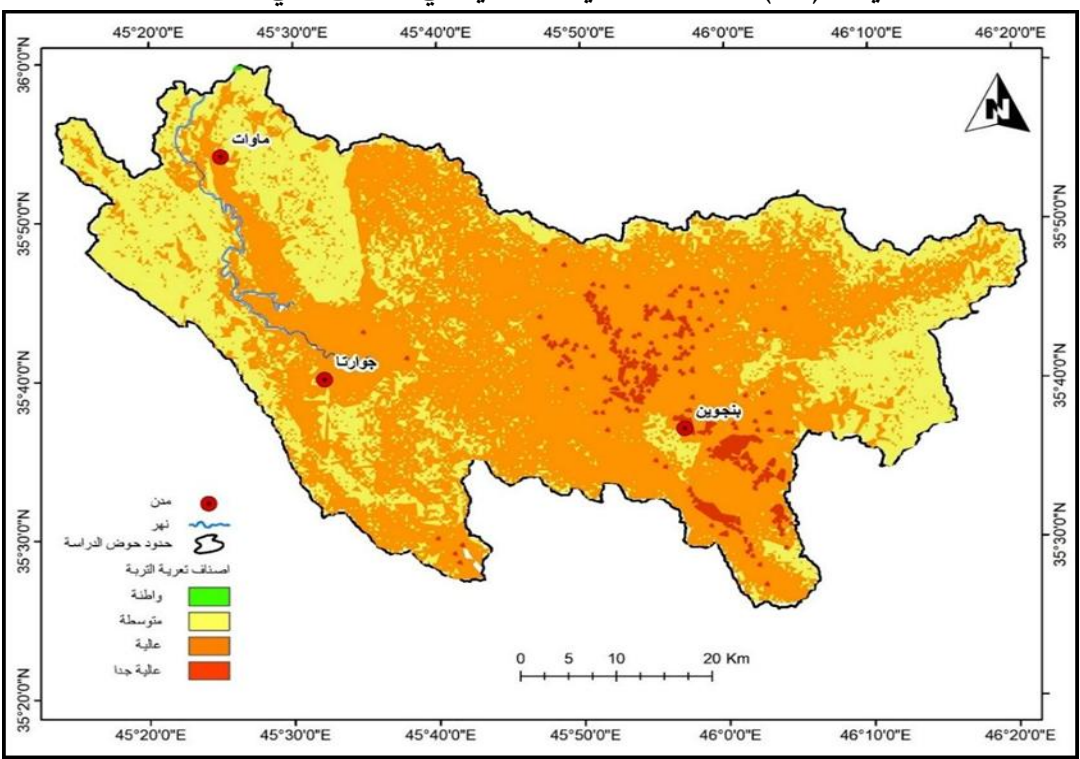


المصدر: منصدرات خط تقسيم المياه في الجزء المصدر: توضح منحدرات المقامة عليها ناحية الغربي من الحوض والتي اقيمت عليها منطقة سيتك، جوارتا، الدراسة الميدانية، بتاريخ ٤/٧ /٢٠٢٥ لغربي الدراسة الميدانية ، بتاريخ ٤/٧ /٢٠٢٥

٣. صنف مناطق تعرية عالية: تشكل غالبية مساحة الحوض بلغت مساحتها (١٩٣٠٥٢ كم²) وبنسبة (١٩٠٠٥ %) من مساحة منطقة البحث. يظهر هذا الصنف ضمن الأجزاء الوسطى والشمالية والجنوبية من الحوض والبعيدة عن مناطق تقسيم المياه، وهذا يتطابق مع ما أشارت إليه دراسة ريتشارد جي كورلي، إذ أوضحت أن السبب يرجع إلى أثر الطاقة الحتية للمياه الجارية التي تزداد بزيادة البعد عن خطوط تقسيم المياه وزيادة الانحدار، وتكون الزيادة الحتية على أشدها عند النهايات السفلى للمنحدر (رتشارد جي كورلي ، ١٩٧٩، ص ١٦١). كما يعود سبب ذلك الى اتساع مساحة الأراضي القاحلة، وكثافة الفوالق والصدوع والتصريف النهري مع كميات التساقط الوفيرة والتي تسنقبلها هذه الأجزاء كون الحوض يقع ضمن الأراضي الوعرة وشديدة الانحدار. والتي تشغل أراضي معظم أقضية المنطقة منها: أقضية بنجوين، وجوارته، وماوات ، ومنحدرات جبال شاخي وداري بالون في الجزء الشمال الغربي. وجبال هلوان، توانه، بهار، كورك، سبيارا، وضمن منحدرات جبل كرمك، هران كاني سوقت، قايا الممتدة في الجزء الشرقي وذات التكوينات الجيولوجية المتباينة في مقاومتها للتعرية المائية كطبغات الحمراء، وترسبات السهل الفيضي ، ومجموعة قلقة وكمو وناوبردان ووالاش. كما تظهر ضمن قرى ديزكان ، كانى بي ، دولاك ، دولاسور.

٤. صنف مناطق تعرية عالية جداً: يتميز هذا الصنف من الترب بقابليتها العالية جداً للتعرية بمساحة بلغت) ٢٩.١.٤٦ (وبنسبة (١٠٠٥%) من مساحة منطقة البحث، تظهر ضمن المناطق ذات التعرية العالية وتحديدا في وسط الحوض ضمن منحدرات ميلانه كولوران، قوله كاه ، كوناكورك ، كرمك، تاله شكينه ، جوالاوي ،كرزشين والجزء الجنوب الشرقي منه في شمال قضاء بنجوين وجنوبها ذات الأراضي المتموجة والتكوينات الجيولوجية القابلة للتعرية منها: ترسبات السهل الفيضي، والمراوح الغرينية، والشرف النهرية، وجزء من تكوين كمو. فضلا عن تجمعات القرى ضمن هذا النطاق من التعرية والتي أسهمت في زيادة عملية التعرية.

خريطة (١٢) أصناف مستويات التعرية في حوض همي قيشان



المصدر: اعتماد نمذجة المؤشرات الجيومور فولوجية لحوض همي قيشان واستعمال برنامج ArcGIS 10.8

جدول (١٠) أصناف الترب المعرضة للتعربة في حوض همي قيشان

النسبة(%)	المساحة (كم²)	اصناف تعرية الترب	IJ
0.01	0.17	واطئة	.1
33.31	996.46	متوسطة	.2
65.63	1963.52	عالية	.3
1.05	31.46	عالية جداً	.4

المصدر: اعتماد الخريطة (١٢)

صورة (۲۰)



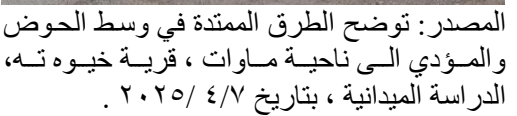
المصدر: تركز التجمعات السكنية عند المنحدرات المصدر: المشاريع الاستثمارية المقامة عند سيتك، الدراسة الميدانية، بتاريخ ٤/٧ /٢٠٢٥



الشمال الغربي للحوض، الدراسة الميدانية، بتاريخ منحدرات الاراضي الوسطى للحوض، منطقة Y. Yo/ E/V

صورة (۲۲) صورة (۲۱)







المصدر: توضح الانشطة البشرية المقامة عند منحدرات تكوين عقرة بخمة، في الجزء الجنوبي والمؤدي الي ناحية ماوات ، قرية خيوه ته، للحوض، الدراسة الميدانية، بتاريخ ٤/٧ /٢٠٢٥

الاستنتاحات:

- ١. نتيجة اتساع مساحة الحوض تتوعت التكوبنات الجيولوجية في حوض همي قيشان بين صخور صلبة جيربة ودولومايتية والتي تشكل أغلب مساحة الحوض وما بين لينة من ترسبات الزمن الجيولوجي الرابع والتي تعد أقلها مساحة.
- ٢. وقوع الحوض ضمن نطاق الطيات العالية وتأثره بالحركات التكتونية ادى الى انتشار الفوالق وتفاوت في الارتفاع والانحدار، إذ إن أغلب منحدرات الحوض هي مجزأة ومتقطعة بدرجة عالية.
- ٣. نتيجة تمتع حوض همي قيشان بتساقط مطري وثلجي كثيف أحد أهم الأسباب في زيادة كثافة شبكة التصريف مما أسهم في نشاط عمليات الحت المائي والذي بدوره أدى إلى تعربة المكاشف الصخربة.
- ٤. تباينت مستويات شدة التعرية في حوض همى قيشان، تشكل خطورة التعرية العالية غالبية مساحة الحوض بنسبة (٢٥٠٦٣%)، تليها مستوى خطورة التعربة المتوسطة بنسبة بلغت (٣٣.٣١%)، في حين جاءت مستوبات التعربة الواطئة والعالية جداً بقيم قليلة جداً بلغت (١٠٠١%) و (١٠٠٥%) من مساحة منطقة البحث على التوالي.
- ٥. تركزت نشاط التعربة العالية ضمن الأجزاء الوسطى من الحوض؛ بسبب طبيعة استعمالات الأرض والعالية جداً ضمن منحدرات جبال، في حين غطت مناطق التعرية المتوسطة مناطق تقسيم المياه ضمن الصخور الكاربوناتية والناربة والمتحولة، في حين شغلت التعربة المتوسطة جزءا صغيرا جداً من الجزء الشمال الغربي من الحوض.
- ٦. تأثر الحوض بالمؤشرات الجيومورفولوجية الشكلية منها: مساحة الحوض، وطول الحوض ،ومحيطه، وكثافة شبكة التصريف التي أدت دوراً وإضحا في حدوث شدة تعربة.

Conclusions:

- 1. Due to the vast area of the basin, the geological formations in the Hemi Qeshan Basin vary between hard limestone and dolomite rocks, which constitute the majority of the basin's area, and soft Quaternary sediments, which constitute the smallest area.
- 2. The basin's location within the high fold zone and its influence by tectonic movements have led to the spread of faults and variations in elevation and slope. Most of the basin's slopes are highly fragmented and discontinuous.
- 3.The Hemi Qeshan Basin's heavy rainfall and snowfall is one of the main reasons for the increased density of the drainage network, which has contributed to the activity of water erosion, which in turn has led to the erosion of rock outcrops.
- 4 .Erosion intensity levels varied in the Hemi Qeshan Basin. High erosion severity constituted the majority of the basin area (65.63%), followed by medium erosion severity (33.31%). Low and very high erosion levels accounted for very small amounts (0.01%) and 1.05% of the research area, respectively.
- 5. High erosion activity was concentrated within the central parts of the basin due to the nature of land use, and very high erosion within mountain slopes. Medium erosion areas covered watershed areas within carbonate, igneous, and metamorphic rocks. Medium erosion occupied a very small portion of the northwestern part of the basin.
- 6 .The basin was influenced by geomorphological indicators, including basin area, basin length, basin perimeter, and drainage network density, which clearly played a role in erosion intensity.

المقترحات:

- انشاء سدود صغيرة لحجز المياه والاستفادة منها عند مواضع التقاء الروافد الرئيسة لاسيما عند مناطق الصخور الصلبة في الحوض لتقليل من شدة الجريان المائي وبالتالي التقليل من خطورة التعربة المائية.
- العمل على تثبيت التربة والحد من تعريتها من خلال تثبيت المدرجات ضمن السفوح وزراعة النباتات والمحاصيل الزراعية لاسيما عند السفوح المعرضة لعملية الانجراف.
- ٣. ضبط التوسع العمراني السكني ومنع اقامة المشاريع الاستثمارية ضمن منحدرات مكاشف الصخور الضعيفة لاسيما ترسبات الزمن الجيولوجي الرابع (البلايستوسين والهولوسين).

المراجع

- Al-Zubedi, A. (2022). Groundwater in Iraq. *Baghdad, ISBN*. Retrieved from 978-9922-9746
- Ahmed. G. H 'Al-Manmi, D. A. M. (2021). TREND DETECTION OF AVERAGE ANNUAL RAINFALL AND TEMPERATURE IN SULAYMANIYAH GOVERNORATE, IRAQ. Anhar Journal of Agricultural Sciences.
- Al-Qayim, B., & others. (2019). GIS-BASED URBAN GEOMORPHOLOGICAL ANALYSIS OF THE SULAIMANIA CITY, KURDISTAN REGION, NE IRAQ (Vol.15, No.2 ed.).
- Al-Saady, Y. (2015). Land use and land cover (LULC) mapping and change detection in the Little Zab River Basin (LZRB), Kurdistan Region, NE Iraq and NW Iran. Retrieved from https://www.researchgate.net/publication/283635475,2015,p17.
- AL-SAADY, Y. (2016). ENVIRONMENTAL IMPACT ASSESSMENT OF LAND USE EXPANSION ON LESSER ZAB RIVE BASIN, NORTH EAST OF IRAQ,. Baghdad: University of Baghdad College of Science, Department of Geology.
- Azmeri, A., & others . (2022). Surface erosion hazard and sediment yield for Keuliling Reservoir in Indonesia,. Journal of Water and Land Development.
- ÇELLEK, Seda. (2022). Linear Parameters Causing Landslides: A Case Study of Distance to the Road, Fault, Drainage,. Kocaeli Journal of Science and Engineering.
- Hagar, & others. (2017). Global evaluation of erosion rates in relation to tectonics, Hecht and Oguchi. Progress in Earth and Planetary Science. Retrieved from 4:40 DOI 10.1186/s40645-017-0156-3
- Halefom, A., & others. (2018). Mapping soil erosion potential zones with a geo-spatial application of multi-criteria evaluation technique model in highlands of Ethiopia. Int. J. Sustainable Agricultural Management and Informatics..
- Hoare, R. (2006). http://www. world climate. com,. Retrieved from World Climate: Weather Rainfall and Temperature Data. On-line database.
- Horton, R. (1945). Erosional Development of Streams and their Drainage Basins Hydrophysical Approach to Quantitative Morphology. Geo, Soc, Amer, Bull.
- Jassim, S., & Jeremn, C. (2006). Geology of Iraq (Vol. Ist edition). Dolin, Prague and Moravian, Czich Republic: Museum, Brno,.
- Sissakian, V., & Al-Jiburi, B. (2014). STRATIGRAPHY OF THE HIGH FOLDED ZONE. Iraqi Bull. Geol. Min., Special Issue.
- TESHOME, S. (2023). Spatial delineation of soil erosion vulnerability in Angereb watershed, Amhara Region, Ethiopia.

ارثر ستريلر. (١٩٦٤). اشكال سطح الارض جيمومورفولوجية) .وفيق الخشاب، و عبد الوهاب الدباغ، المترجمون) بغداد: مطبعة دار الزمان.

حسن رمضان سلامة. (٢٠٠٧). اصول الجيومورفولوجيا)المجلد الاولى). عمان. الاردن: دار المسيرة للنشر والتوزيع والطباعة.

ناهدة جمال الطالباني. (٢٠٠٩). المياه الجوفية في منطقة ما بين الزابين في العراق واستغلالها . السليمانية: مطبعة باد.